

## تعیین ضریب رفتار سازه‌های ساختمان‌های فولادی با مهاربند همگرا با تکیه بر اثر اندرکنش خاک و سازه

کامران هنرمند<sup>۱</sup>، محمد امامی کورنده<sup>۲</sup>، مهدی جلالی نژاد<sup>۳</sup>

<sup>۱</sup>دانشجوی کارشناسی ارشد عمران گرایش سازه موسسه آموزش عالی آبا آبیک

<sup>۲</sup>استادیار موسسه عمران گرایش سازه موسسه آموزش عالی آبا آبیک

<sup>۳</sup>مدرس موسسه عمران گرایش سازه موسسه آموزش عالی آبا آبیک

### چکیده

در سال‌های اخیر، پژوهشگران اروپایی نیز همگام با محققان آمریکایی به تحقیق در مورد برآورد ضرایب رفتار سازه‌ها پرداخته‌اند. عمدتاً روش‌هایی که توسط اروپایی‌ها مورد استفاده قرار گرفته به دو گروه تقسیم می‌شود. روش‌های متکی بر تئوری ضریب شکل پذیری و روش‌های انرژی. موضوع این مطالعه درمورد رفتار دیافراگم کف ساختمانهای بتن‌آرمه و بررسی درصد خطای فرض‌های ساده کننده در مدل‌سازی دیافراگم و تأثیر آن بر توزیع نیروی زلزله بین اعضاء قائم باربر جانبی سازه و نیروهای درون صفحه‌ای دیافراگم کف می‌باشد. برای محاسبه ضریب رفتار ابتدا از روی منحنی دوخطی پوش آور پارامترهای مورد نیاز را استخراج گردید و از آنها برای تعیین ضریب رفتار استفاده شد. ضریب رفتار در این تحقیق در جداول محاسبه شد. شایان ذکر است محاسبات ضریب رفتار از روی منحنی دوخطی برای تمامی مدل‌های Etabs انجام شده که به علت حجم بالای نمودارهای فقط به ارایه تعدادی از آنها به عنوان نمونه بسنده شده است.

**واژه‌های کلیدی:** ضریب رفتار، سازه، ساختمان‌های فولادی، اندرکنش خاک و سازه

موضوع این مطالعه درمورد رفتار دیافراگم کف ساختمانهای بتن آرمه و بررسی درصد خطا با فرض‌های ساده کننده در مدلسازی دیافراگم و تأثیر آن بر توزیع نیروی زلزله بین اعضاء قائم باربر جانبی سازه و نیروهای درون صفحه‌ای دیافراگم کف می‌باشد. همچنین در نتایج آنالیز، مقدار نسبت  $\frac{\Delta \text{diaph}}{\Delta \text{story}}$  مورد بررسی و مطالعه قرار گرفته است. این تحقیق گامی است دیگر به سوی یک ایده بهتر جهت مدلسازی دیافراگم کف طبقات، تا علاوه بر اینکه اینمی ساختمان رعایت شود، در مواردی با اطمینان خاطر بتوان فرضیات ساده کننده را در مدلسازی اعمال کرد و مواردی که فرضیات ساده کننده منجر به اشتباها قابل توجهی در برآورد ظرفیت‌های مقاومتی برای دیافراگم و اعضاً باربر جانبی می‌شود، مدلسازی را هر چه بیشتر به واقعیت نزدیک تر کرد. عوامل متعددی در میزان خطای فرضیات ساده کننده دخیل می‌باشند که این عوامل با جزئیات کامل همراه با تأثیر آن بر نتایج آنالیز به طور کامل شرح داده می‌شود. خلاصه مطلب این است که توزیع نیروهای افقی به اعضاً باربر جانبی، که توسط دیافراگم افقی صورت می‌گیرد بستگی به نسبت سختی اعضاً باربر جانبی به سختی دیافراگم و سختی اعضاً باربر جانبی نسبت به یکدیگر دارد. جهت وضوح بیشتر مطلب خلاصه‌ای از پیوست ششم آئین نامه ۲۸۰۰ ایرن (ویرایش چهارم) در زیر آورده شده است.

### روش‌های آمریکایی جهت محاسبه ضربی رفتار:

در این گروه، دو روش شاخص تر از سایرین بوده و روش‌های دیگر، با کمی تفاوت عمده‌ای مشابه این روش‌ها هستند. یکی از این روش‌ها که به روش «طیف ظرفیت» معروف است حاصل تحقیقات فریمن<sup>۱</sup> می‌باشد. روش دوم نیز که به روش «ضربی شکل پذیری» مشهور است، دستاورد پژوهش یوانگ<sup>۲</sup> است. در ادامه روش اول، به اختصار و روش دوم، به شکل کامل تری معرفی می‌شود.

### روش طیف ظرفیت فریمن:

فریمن یک روش تحلیلی برای بدست آوردن مقدار  $R$  (ضربی رفتار) که تحت تأثیر پارامترهای زیادی قرار دارد، به صورت رابطه (۱) ارائه نمود:

$$R = R_i \times R_j \times R_k \times \dots \times R_n \quad (1)$$

که هر یک از این پارامترها جانشین عواملی از قبیل آرایش قاب‌ها، سیستم سازه‌ای، ترکیب بارها، درجه نامعینی، میرایی، ویژگی‌های رفتار غیر خطی سازه، خصوصیات مصالح، نسبت ابعاد ساختمان، مکانیزم خرابی و پارامترهای مؤثر دیگر می‌باشند. گستردگی عوامل مؤثر در تعیین  $R$  چنان است که به سختی می‌توان دو ساختمان با ضربی رفتار یکسان یافت. به عبارت دیگر، هر ساختمان ویژگی‌های منحصر بفرد و مخصوص به خود را دارد. از این رو، به جای اینکه تمامی عوامل مؤثر یادشده در رابطه ضربی رفتار وارد گردد، شایسته تر است که تنها عواملی که نقش اساسی تری دارند دخالت داده شوند. در این روش، دو عامل اصلی ظرفیت سازه و نیروهای ناشی از زلزله، در نظر گرفته می‌شوند. سپس عواملی که ظرفیت را افزایش و نیروهای لرزه‌ای را کاهش می‌دهند، مشخص می‌گردد.

در این روش، ظرفیت افزایش یافته نامیده می‌شود. پاره‌ای از عوامل مؤثر در مقدار  $R_C$  عبارتند از: ضربی بار و ضربی کاهش مقاومت مصالح (مانند <sup>۳</sup> برای بتن)، طراحی دست بالای اعضا، سخت شدگی کرنشی، نامعینی سازه، شکل پذیری سازه و ظرفیت اضافه‌ای که از لحظه جاری شدن اولین تار کششی یا فشاری مقطع تا تشکیل لولای خمیری کامل در یک عضو قابل دست یابی است.

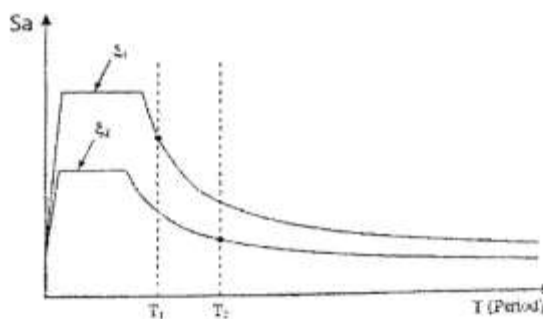
<sup>۱</sup> Friman

<sup>۲</sup> Uang

در هنگام وقوع زلزله، هر چه رفتار سازه از حد ارجاعی فراتر رود، سختی آن کاهش یافته و میرایی افزایش می‌یابد. کاهش سختی باعث طولانی تر شدن زمان تناوب و افزایش میرایی باعث افزایش استهلاک انرژی می‌شود. با بلند تر شدن زمان تناوب و افزایش میرایی، نیروهای لرزه ای وارد به سازه (نیازهای لرزه ای) کاهش می‌یابند. (با توجه به طیف های پاسخ در شکل (۲)، سازه از مقدار متناظر با  $T_1$  و  $\xi_1$  به مقدار متناظر با  $T_2$  و  $\xi_2$  می‌رسد). در این حالت، نسبت نیروهای ارجاعی به نیروهای غیر ارجاعی (کاهش یافته بر اثر نرمتر شدن سازه و افزایش استهلاک انرژی)، به عنوان  $R_D$  تعریف می‌شود. حال با مشخص شدن  $R_c$  و  $R_D$ ، ضریب رفتار ( $R$ ) از رابطه (۲) بدست می‌آید:

$$R = R_c \times R_D \quad (2)$$

از آنجا که  $R_c$  و  $R_D$  برای هر ساختمان مقادیر منحصر بفردی دارند، ضریب رفتار هر ساختمان نیز مقداری منحصر بفرد خواهد داشت.



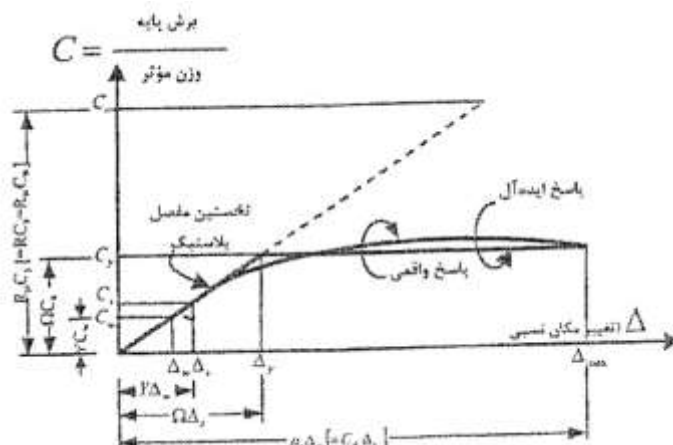
شکل (۱): طیف نیروهای وارد بر سازه در دو حالت ارجاعی و غیرارجاعی

#### روش ضریب شکل پذیری یوانگ:

با در نظر گرفتن رفتار کلی یک سازه متعارف شکل (۲-۳) مقدار مقاومت ارجاعی مورد نیاز که بر حسب ضریب برش پایه ( $C_{eu}$ ) تعریف شده، عبارت است از:

$$C_{eu} = \frac{V_e}{W} \quad (3)$$

در این رابطه،  $W$  وزن مؤثر سازه و  $V_e$  حداکثر برش پایه است. در صورتی که سازه کلأ در محدوده ارجاعی باقی بماند.



شکل (۲): رفتار کلی یک سازه متعارف

معمولًا طراحی صحیح یک سازه تا حدود قابل قبول منجر به شکل پذیر شدن آن می‌شود. در این حالت سازه می‌تواند به حداکثر مقاومت خود ( $W_{cy}$ ) برسد همانگونه که در شکل (۲) نشان داده شده است، حداکثر تغییر مکانی نسبی ایجاد

شده در طبقه برابر با  $\Delta_{\max}$  است. از آنجا که محاسبه مقدار  $W_{C_y}$  با مقاومت حد خمیری سازه یا مقاومت نهایی به هنگام ایجاد مکانیزم گسیختگی متناظر بوده و نیاز به تحلیل غیر خطی دارد، مقدار آن با رابطه مشخصی بیان نشده است. برای مقاصد طراحی، برخی آیین نامه‌ها مقدار  $C_y$  را به مقدار  $C_s$  که نمایانگر تشکیل اولین لولای خمیری در مجموعه سازه است، کاهش می‌دهند. این مقدار نیرو، ترازی است که در آن پاسخ کلی سازه به گونه قابل توجهی از قلمرو ارجاعی خارج می‌شود. این تراز نیرو به روش برخورد آیین نامه‌های با طراحی بر مبنای مقاومت، بستگی دارد. در طراحی مقاطع برای این مقدار نیروی وارده می‌توان از روش هایی مانند روش بار نهایی در بتن (آیین نامه بتن ایران، آیین نامه ACI-۳۱۸) و آیین نامه CEB (AISC - LRFD) استفاده نمود. اختلاف مقدار نیروی وارده بین  $C_s$  و  $W_{C_y}$  را اصطلاحاً مقاومت افزون می‌نامند.

مزیت استفاده از  $C_s$  یا  $C_w$  در این است که طراح، تنها یک تحلیل ارجاعی انجام می‌دهد و سپس با استفاده از آیین نامه‌های جاری، ابعاد قطعات و جزئیات اجرایی را تعیین می‌نماید. اولین اشکال استفاده از تحلیل ارجاعی برای نیرو در ترازهای  $C_s$  یا  $C_w$  در این است که محاسب قادر نخواهد بود مقاومت واقعی سازه را تعیین کند. اشکال دوم این است که مقادیر تغییر مکان‌های غیر ارجاعی را نمی‌توان با تحلیل ارجاعی خطی محاسبه نمود. برای محاسبه این تغییر مکان‌های غیر ارجاعی آیین نامه‌ها معمولاً از ضرایب تشدید تغییر مکان‌های ارجاعی ( $C_d$ ) استفاده می‌نمایند. در آیین نامه‌های مختلف، مقدار این ضریب تشدید برای سیستم‌های سازه‌ای متفاوت معمولاً به صورت مضربی از  $R$  ارائه می‌گردد.

در روش یوانگ، برای تعیین ضریب رفتار  $R$  یا  $R_w$ ، عوامل مؤثر به شکل زیر تعریف می‌شوند:  
**ضریب شکل پذیری کلی سازه ( $R_\mu$ ):**

با ایده آل کردن منحنی رفتار کلی سازه به منحنی ارجاعی- خمیری (الاستیک - پلاستیک) کامل در شکل(۲)، ضریب شکل پذیری کلی سازه به صورت خارج قسمت حداکثر تغییر مکان جانبی نسبی ( $\Delta_{\max}$ ) به تغییر مکان جانبی نسبی تسلیم ( $C_y$ ) تعریف می‌شود.

$$\frac{\Delta_{\max}}{C_y} = \mu_s \quad (4)$$

**ضریب کاهش بر اثر شکل پذیری ( $R_\mu$ ):**

بر اثر شکل پذیری، ساختمان ظرفیتی برای استهلاک انرژی خواهد داشت. به دلیل این ظرفیت استهلاک انرژی، نیروی طراحی ارجاعی (Ce) را میتوان به تراز مقاومت تسلیم (Cy) کاهش داد.

$$R_\mu = Ce / Cy \quad (5)$$

**ضریب مقاومت افزون ( $\Omega$ ):**

مقاومت ذخیره ای که بین تراز تسلیم کلی سازه ( $C_y$ ) و تراز اولین تسلیم ( $C_s$ ) وجود دارد، به عنوان مقاومت افزون شناخته می‌شود. از این رو، ضریب مقاوم افزون عبارت است از خارج قسمت نیروی متناظر با حد تسلیم کلی سازه به هنگام تشکیل مکانیزم خرابی سازه ( $C_y$ )، به نیروی متناظر با تشکیل اولین لولای خمیری در سازه ( $C_s$ ).

$$\Omega = \frac{C_y}{C_s} \quad (6)$$

**ضریب تنش مجاز ( $\gamma$ ):**

این ضریب، براساس نحوه برخورد آیین نامه‌های مصالح با تنش های طراحی (بار مجاز یا بار نهایی) تعیین می‌شود و مقدار آن عبارت است از نسبت نیرو در حد تشکیل اولین لولای خمیری ( $C_s$ )، به نیرو در حد تنش های مجاز ( $C_w$ ).

$$\gamma = \frac{C_s}{C_w} \quad (7)$$

**فرمول بندی ضریب رفتار:**

با توجه به تعریف‌های ارائه شده و شکل (۲) می‌توان رابطه‌های زیر را بدست آورد [۳] (برای حالت‌هایی مانند آین نامه های: NEHRP ۲۰۰۰ و IBC-۲۰۰۰، UBC-۱۹۹۷):

$$\frac{C_{eu}}{c_s} = \frac{C_{eu}}{c_y} \times \frac{c_y}{c_s} = R_\mu \Omega = R \quad (8)$$

برای حالت طراحی با تنש‌های مجاز (مانند آین نامه‌های UBC-۱۹۹۴، UBC-۱۹۹۸ و استاندارد ۲۸۰۰ ایران):

$$\frac{C_{eu}}{c_w} = \frac{C_{eu}}{c_y} \times \frac{c_y}{c_s} \times \frac{c_s}{c_w} = R_w \Omega \gamma \quad (9)$$

با توجه به شکل (۲-۳):

$$\frac{\Delta_y}{\Delta_s} = \frac{c_y}{c_s} = \quad (10)$$

$$\frac{\Delta_s}{\Delta_w} = \frac{c_s}{c_w} = \gamma \quad (11)$$

و برای ضریب تشدید تغییرمکان جانبی (ضریبی که تغییرمکان جانبی را از تغییرمکان ارجاعی برآورد می‌کند):

$$Cd = \Delta Max / \Delta s = \mu s \Omega \quad (12)$$

در صورتی که ضریب افزایش تغییر مکان جانبی متناظر با واحد مجاز تنش‌ها مد نظر باشد (استاندارد ۲۸۰۰ ایران):

$$C_{dw} = \frac{\Delta_{max}}{\Delta_w} = \frac{\Delta_{max}}{\Delta_y} \times \frac{\Delta_y}{\Delta_s} \times \frac{\Delta_s}{\Delta_w} = \mu_s \Omega \gamma \quad (13)$$

از رابطه‌های (۸-۳) تا (۱۳-۳) چنین بر می‌آید که:

مقادیر  $R$ ،  $C_d$  و  $R_w$ ، همگی تابعی از شکل پذیری سازه ( $\mu_s$ )، ضریب مقاومت افزون ( $\Omega$ ) و نسبت میرایی (که اثر آن در  $R_\mu$  منعکس است) می‌باشند.

بطور کلی نادرست است که ضرایب کاهش  $R$  یا  $R_w$  را ضرایب کاهش بر اثر شکل پذیری (یا ضرایب شکل پذیری) نامید زیرا آثار مقاومت افزون می‌تواند در حد ضریب کاهش بر اثر شکل پذیری ( $R_\mu$ ) عمل نماید.

با توجه به رابطه‌های (۸-۳) تا (۱۳-۳) برای تعیین مقادیر  $R$ ،  $C_d$  و  $R_w$  لازم است موارد زیر برای سازه‌های با سیستم‌ها و شکل پذیری متفاوت تعیین شود:

#### الف) مقدار ضریب مقاومت افزون ( $\Omega$ )

ب) مقدار ضریب شکل پذیری کلی سازه ( $\mu_s$ ) یا ضریب کاهش بر اثر شکل پذیری ( $R_\mu$ )

ج) رابطه بین ضریب شکل پذیری ( $\mu_s$ ) و ضریب کاهش بر اثر شکل پذیری ( $R_\mu$ ) و زمان تناوب (T) سیستم.

#### روش‌های اروپایی جهت محاسبه ضریب رفتار:

در سال‌های اخیر، پژوهشگران اروپایی نیز همگام با محققان آمریکایی به تحقیق در مورد برآورد ضرایب رفتار سازه‌ها پرداخته‌اند. عمده‌تاً روش‌هایی که توسط اروپایی‌ها مورد استفاده قرار گرفته به دو گروه تقسیم می‌شود. روش‌های متکی بر تئوری ضریب شکل پذیری و روش‌های انرژی.

#### روش تئوری شکل پذیری:

این روش که بر مبنای تئوری شکل پذیری استوار است اولین بار توسط کاستزا ۳ و همکاران در سال ۱۹۸۶ معرفی شده است

در این روش ضریب رفتار (R) با توجه به شکل (۳-۳)، از رابطه (۱۴-۳) بدست می‌آید:

$$R = \frac{\delta_u}{\delta_y} = \alpha_c \left[ \frac{\alpha_u}{\alpha_y} - \beta \right] + \beta \quad (14)$$

<sup>۱</sup> Kasenza

در این رابطه  $\alpha_c$  ضریب ارتجاعی بحرانی برای بارهای قائم و  $\beta'$  پارامتر وابسته به زمان تناوب ارتعاش سازه است و از رابطه (۱۵) بدست می‌آید:

$$\beta' = \beta \cdot \frac{\alpha_u}{\alpha_y} \quad (15)$$

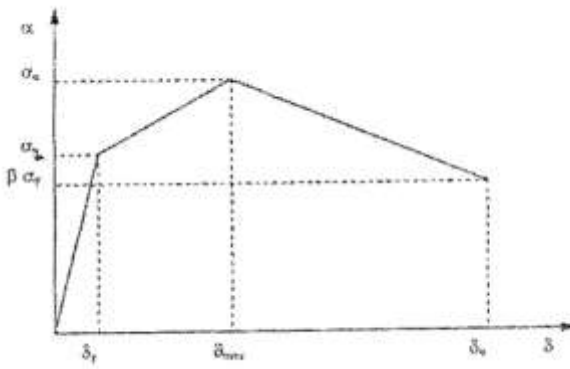
با توجه به دو رابطه اخیر می‌توان  $R$  را از رابطه (۱۶-۳) بدست آورد:

$$R = \frac{\alpha_u}{\alpha_y} [(1 - \beta')\alpha_c + \beta'] \quad (16)$$

جهت تکمیل روش فوق، در سال ۱۹۹۶، مازولانی<sup>۴</sup> با استفاده از نتایج حاصل از پاسخ سیستم‌های یک درجه آزاد، رابطه (۱۷) را برای  $\beta'$  پیشنهاد کرد

$$\beta' = 1 - T \quad \text{و} \quad T > 0.5 \text{ sec} \quad (17)$$

از این رو برای زمان‌های تناوب بزرگتر از  $0.5$  ثانیه،  $R$  دارای مقداری ثابت و برای  $T < 0.5$  یک تابع خطی از زمان تناوب است.



شکل (۳): مدل رفتاری ساده شده برای سیستم یک درجه آزاد

در شکل فوق مقادیر  $\delta_y$ ،  $\delta_u$  و  $\delta_{max}$  به ترتیب مقادیر تغییر مکان تسلیم، تغییر مکان حداکثر و تغییر مکان در حالت گسیختگی برای سیستم یک درجه آزاد می‌باشد.

#### روش انرژی:

روش انرژی بر این فرض استوار است که حداکثر انرژی جنبشی ناشی از یک زلزله شدید با حداکثر انرژی که یک سازه قادر است جذب نماید برابر است. معادله تعادل انرژی در یک سازه به صورت رابطه (۱۸) است:

$$E_{ku} = W + D_u - E_{ru} \quad (18)$$

در این رابطه،  $E_{ku}$  حداکثر انرژی جنبشی قابل جذب و استهلاک در سازه،  $W$  انرژی ذخیره شده در سازه در مرحله تغییر شکل ارتجاعی،  $D_u$  انرژی ذخیره شده طی تغییر شکل‌های غیر ارتجاعی سازه و  $E_{ru}$  کار انجام شده توسط نیروهای قائم در کل روند تغییر شکل سازه می‌باشد.

اگر طیف پاسخ شتاب زمین، در زلزله طراحی  $s$  و انرژی جنبشی از آن  $E_k$  نامیده شود، معمولاً می‌توان با اعمال یک ضریب  $m$  آنرا به شدیدترین زلزله طراحی، مرتبط کرد. با توجه به این موضوع، انرژی جنبشی ناشی از این زلزله مخرب ( $E_{km}$ ) که با استفاده از حداکثر شبه سرعت برآورد شده از طیف  $ms$  مشخص می‌گردد، توسط رابطه (۱۹) مرتبط می‌شود:

$$E_{km} = m^* E_k \quad (19)$$

<sup>۴</sup> Mazolani

در نتیجه بنا بر اصل تعادل انرژی‌ها، لازم است رابطه (۲۰) برقرار باشد:

$$E_{km} = E_{ku} \quad (21)$$

روشهای تحلیلی مفصل و پیچیده‌ای برای حل معادله فوق و استخراج ضرایب رفتار از آن وجود دارد که معروفترین آنها توسط کومو<sup>۵</sup> و لانی<sup>۶</sup> ارائه شده است.

#### مقایسه روش‌های محاسبه ضریب رفتار:

با توجه به مطالب طرح شده در دو روش آمریکایی فریمن و یوانگ چنین به نظر می‌رسد که تعریف  $\Omega$  در روش یوانگ، مانند تعریف  $R_c$  در روش فریمن است. اختلاف این دو روش در ماهیت ضرایب  $R_D$  و  $R_\mu$  است. فریمن با قبول مقداری تقریب،  $R_D$  را برای سازه‌های با درجات آزادی مختلف مستقیماً از مقایسه طیف ارجاعی و غیر ارجاعی محاسبه می‌کند، در حالی که در روش یوانگ،  $R_\mu$  محاسبه شده و از رابطه‌هایی که  $R_\mu$  را به  $R$  (برای سازه‌های یک درجه آزادی) مرتبط می‌کند،  $R$  سازه‌های چند درجه آزادی با مقداری تقریب، محاسبه می‌گردد.

همچنین با بررسی اجمالی کلیه روش‌های طرح شده برای محاسبه ضریب رفتار می‌توان دریافت که روش ضریب شکل پذیری یوانگ از روش‌های آمریکایی و روش تئوری شکل پذیری از روش‌های اروپایی، مشابهت زیادی به یکدیگر داشته و هر دو بر اساس نتایج تحقیقات نیومارک<sup>۷</sup> برای سیستم‌های یک درجه آزادی استوارند.

#### ۳-۳-۳- اجزای ضریب رفتار

نتیجه پژوهش‌های زیادی که در اوایل دهه ۱۹۸۰ انجام شد منجر به تجزیه  $R$  به عوامل تشکیل دهنده آن در همان اوایل گردید. از جمله این پژوهش‌ها می‌توان به کارهای فریمن و یوانگ در ATC-۱۹ و ATC-۳۴ اشاره کرد. پژوهشگران در ATC-۱۹ فرمولبندی جدیدی را برای  $R$  پیشنهاد کردند که به صورت حاصلضرب سه عامل است:

$$R = R_s R_\mu R_R \quad (22)$$

در این رابطه  $R$  ضریب مقاومت افزون وابسته به زمان تناوب،  $R_\mu$  ضریب شکل پذیری وابسته به زمان تناوب و  $R_R$  ضریب درجه‌ی نامعینی است. ضریب چهارمی نیز برای به حساب آوردن اثر میزان لزج افزوده، مد نظر گرفته شده تا در فرمول بنده جدید گنجانده شود. این ضریب، کاهش پاسخ ناشی از ابزارهای میراگر لرج تکمیلی را وارد محاسبات می‌کند. چنین ضریب میرایی لرجی می‌تواند برای کاهش تغییر مکانها در یک قاب با رفتار ارجاعی مورد استفاده قرار گیرد، اما نبایستی متناسب با آن، نیازهای نیرو کاهش داده شود. اگر ضریب رفتار با روش‌های رفتاری طراحی بر مبنای نیرو بکار رود، ضریب میرایی از فرمول بنده جدید حذف می‌گردد.

#### ۱. پیشینه پژوهش

تمام‌سون در سال ۲۰۱۲ در پژوهشی با عنوان بررسی ضریب رفتار قاب‌های ساختمانی با در نظر گرفتن اندرکنش خاک-سازه پرداخته و اشاره کرده عموماً در تحلیل سازه‌ها فرض می‌شود که خاک واقع در زیر سازه صلب است و از اثر خاک-فوندانسیون صرف‌نظر می‌گردد، این در حالی است که خاک در واقعیت صلب نیست، وجود خاک در زیر سازه باعث تغییر خصوصیات سازه و در نتیجه پاسخ آن می‌گردد. هر چند در مورد تأثیر خاک بر پاسخ ارجاعی سازه‌ها مطالعات فراوانی صورت گرفته است،

<sup>۵</sup> komo

<sup>۶</sup> lani

<sup>۷</sup> Newmark

تحقیقات انجام شده در ناحیه غیر ارجاعی اندک و محدود به سال‌های اخیر می‌باشد. در این تحقیق اثر سیستم خاک - سازه - فوندانسیون بر ضریب رفتار سازه بررسی شده است. بدین منظور ضریب رفتار قاب‌های ساختمانی ۱، ۲، ۳ و ۴ طبقه با دو سیستم قاب خمی و قاب ساده با بادیند ضربدری مورد مطالعه قرار گرفته است. مطالعه ضریب رفتار قاب‌های فوق الذکر به دو روش انجام پذیرفته است، یکی روش تحلیل پوش‌آور سازه با پایه ثابت و دیگری تحلیل پوش‌آور سیستم خاک - فوندانسیون - سازه، مقادیر به دست آمده از دو روش تحلیل فوق با یکدیگر مورد مقایسه قرار گرفته و با این مقایسه تأثیر سیستم خاک - فوندانسیون - سازه بر ضریب کاهش نیرو ناشی از شکل پذیری و ضریب کاهش نیرو ناشی از اضافه مقاومت موجود در سازه و ضریب رفتار سازه مورد سنجش قرار گرفته است و می‌توان گفت که سیستم خاک - فوندانسیون - سازه باعث کاهش ضریب رفتار سازه می‌شود.

پیمان مرادی در سال ۲۰۱۳ در پژوهشی تحت عنوان بررسی ضریب رفتار قاب‌های ساختمانی با در نظر گرفتن اندرکنش خاک - سازه پرداخت و در آن با فرض خاک واقع در زیر سازه صلب، از اثر خاک - فوندانسیون صرف نظر کرده، این در حالی است که خاک در واقعیت صلب نیست، وجود خاک در زیر سازه باعث تغییر خصوصیات سازه و در نتیجه پاسخ آن می‌گردد. هر چند در مورد تأثیر خاک بر پاسخ ارجاعی سازه‌ها مطالعات فراوانی صورت گرفت. تحقیقات انجام شده در ناحیه غیر ارجاعی اندک و محدود به سال‌های اخیر می‌باشد. در این تحقیق اثر سیستم خاک - سازه - فوندانسیون بر ضریب رفتار سازه بررسی شده است. بدین منظور ضریب رفتار قاب‌های ساختمانی ۱، ۲، ۳ و ۴ طبقه با دو سیستم قاب خمی فولادی و قاب ساده با بادیند ضربدری مورد مطالعه قرار گرفته است. مطالعه ضریب رفتار قاب‌های فوق الذکر به دو روش انجام پذیرفته است، یکی روش تحلیل پوش‌آور سازه با پایه ثابت و دیگری تحلیل پوش‌آور سیستم خاک - فوندانسیون - سازه، مقادیر به دست آمده از دو روش تحلیل فوق با یکدیگر مورد مقایسه قرار گرفته و با این مقایسه تأثیر سیستم خاک - فوندانسیون - سازه بر ضریب کاهش نیرو ناشی از شکل پذیری و ضریب کاهش نیرو ناشی از اضافه مقاومت موجود در سازه و ضریب رفتار سازه مورد سنجش قرار گرفته است و می‌توان گفت که سیستم خاک - فوندانسیون - سازه باعث کاهش ضریب رفتار سازه می‌شود.

پاندا در سال ۲۰۱۴ در پژوهشی با عنوان تأثیر اندرکنش خاک - سازه بر پاسخ دینامیکی سازه پرداخته که اشاره نمود که تحلیل سازه‌ها در برابر نیروهای دینامیکی و به خصوص زلزله از اهمیت فراوانی برخوردار بوده و از دیرباز مورد توجه محققان قرار گرفته است. در تحلیل و طراحی سازه‌ها در برابر زلزله معمولاً از اثرات اندرکنش خاک - سازه صرف نظر می‌شود. در این تحقیق تأثیر اندرکنش خاک - سازه بر پاسخ دینامیکی یک سازه‌ی نیمه مدفون بنا شده بر خاک‌های متفاوت مورد بررسی قرار می‌گیرد. به منظور تحلیل دینامیکی سیستم خاک - سازه با در نظر گرفتن اثرات اندرکنش از روش‌های گوناگونی استفاده شده است. در این تحقیق با توجه به رویکرد روش مستقیم، از روش تفاضل محدود برای مدل‌سازی و تحلیل مسئله استفاده شده است. فرض شده است که رفتار سازه و خاک خطی بوده و گسیختگی در خاک و سازه رخ نمی‌دهد. تحلیل در حوزه زمان انجام می‌گیرد. به منظور تحلیل سیستم خاک - سازه از نرم افزار Flac2D که بر پایه روش تفاضل محدود است استفاده شده است. همچنین برای صحت اعتبار روند انجام شده نیز با تحقیقات پیشین به روش‌های مخروط و المان محدود مرز مقیاس، مقایسه‌ای انجام شده است. مقایسه‌ی نتایج با دو روش نشان‌دهنده اعتبار و صحت کار انجام شده می‌باشد.

سیوالک در سال ۲۰۱۴ در پژوهشی با عنوان توسعه روش‌های تحلیل لرزه‌ای عملکردی با در نظر گرفتن اندرکنش خاک و سازه پرداخت و در بررسی خود عنوان کرد: موقع زلزله‌های مخرب در دهه‌های گذشته، لزوم ارتقاء آین‌نامه‌های موجود و ارائه روش‌های جدید طراحی، با هدف کسب ایمنی بیشتر و کنترل خسارت‌های سازه‌ای را مشخص ساخت و توسعه روش‌های طراحی لرزه‌ای بر اساس عملکرد را سبب گردید. هر چند این روش‌ها نقش قابل توجهی در پیش‌بینی خسارات سازه‌های متأثر از زلزله را ایفا نموده‌اند، لیکن در نظر گرفتن آثار انعطاف‌پذیری تکیه‌گاه در روش‌های تحلیل عملکردی و الگوهای بارگذاری مورد استفاده در این روش، مسئله‌ای است که بدان کمتر توجه شده است. بررسی آثار پذیده اندرکنش خاک و سازه بر پاسخ لرزه‌ای سازه‌های متکی بر تکیه‌گاه انعطاف‌پذیر با استفاده از مدل‌های یک درجه آزادی، منتهی به ارائه روش‌های ساده شده‌ای گردیده است که در روش‌های مبتنی بر عملکرد بکار گرفته شده است. آثار این پذیده بر توزیع تقاضای شکل‌پذیری سازه‌های

واقعی متکی بر تکیه‌گاه انعطاف‌پذیر و فرضیات ساده کننده روش‌های موجود، اهمیت توسعه روش‌های عملکردی به منظور ارزیابی پاسخ لرزه‌ای مدل‌های چند درجه آزادی که نماینده سازه‌های واقعی متأثر از این پدیده هستند را روشن می‌کند. روش مودال پوش‌آور، به عنوان یکی از روش‌های توسعه یافته و کاربردی در تحلیل عملکردی، به منظور ارزیابی عملکرد سازه‌های کلاسیک متکی بر تکیه‌گاه ثابت، مورد قبول واقع شده است؛ و در این تحقیق به عنوان یکی از روش‌های تحلیل عملکردی بکار گرفته شده است. وجود خاک نرم در زیر سازه، سبب اضافه شدن میرائی جدیدی به سازه می‌گردد؛ و سازه را در معرض سطوح مختلفی از میرائی، حین تحریکات لرزه‌ای قرار می‌دهد و سبب خدشه‌دار شدن فرضیه کلاسیک بودن سازه، که اساس روش مودال پوش‌آور می‌باشد، می‌شود. در این تحقیق با به خدمت گرفتن روش آنالیز مودال مختلط در سیستم‌های غیر کلاسیک، راه برای استفاده از روش مودال پوش‌آور در سیستم‌های مذکور، هموار شده است. و بدین ترتیب، ایده روش مودال پوش‌آور مختلط، با حفظ سادگی و جذاب بودن روش مودال پوش‌آور و با اصلاح الگوهای بارگذاری این روش، در این تحقیق مطرح گردیده و در سیستم‌های متأثر از پدیده اندرکنش خاک و سازه بکار گرفته شده است. ارزیابی تأثیر انعطاف‌پذیری تکیه‌گاه بر عملکرد لرزه‌ای سازه‌های قابی شکل بتن آرمه و با استفاده از روش توسعه داده شده در این تحقیق، هدفی است که در این تحقیق دنبال می‌گردد. برای دستیابی به این هدف، مجموعه‌ای از مدل‌های ژتریک<sup>۵</sup>، ۱۰، ۱۵ و ۲۰ و ۲۵ طبقه به منظور بررسی پاسخ قاب خمی فولادی بسط داده شده‌اند. مدل‌های ژتریک مذکور، به صورت قاب‌های دو بعدی تک دهانه می‌باشند که با استفاده از المان‌های تیر و ستون مدل سازی گردیده‌اند. در این مدل‌ها، رفتار غیرخطی در عضو خمی تیر با استفاده از تئوری لنگر-انحنا و در المان ستون توسط المان‌های الیافی، مدل سازی شده است. در مدل المان‌های الیافی از فنرهای محوری چندگانه که مبتنی بر منحنی تنش-کرنش پایه مصالح می‌باشند، استفاده می‌شود و بر این اساس، اندرکنش نیروی محوری و لنگر خمی در نظر گرفته می‌شود. هم چنین اثر انعطاف‌پذیری تکیه‌گاه با استفاده از روش زیر سازه و با محاسبه سختی‌های دینامیکی (توابع امپدانس)، در نظر گرفته شده که به صورت المان‌های فنر و میراگر در زیر سازه قابی مدل سازی شده است. نتایج حاصل از این تحقیق، تحت اثر رکوردهای عادی و نزدیک به گسل مورد استفاده در این تحقیق، نشان می‌دهد که تأثیر اندرکنش خاک و سازه بسته به شرایط خاک می‌تواند موجب کاهش یا افزایش تقاضا در سازه گردد. میزان این تغییرات بسته به سختی سازه، مقاومت در برابر بار جانبی و محتواهای فرکانسی تحریک، متفاوت می‌باشد؛ به طوری که در برخی از موارد، صرف نظر از اثر اندرکنش می‌تواند طراحی سازه را نسبت به حالت تکیه‌گاه ثابت در جهت خلاف اطمینان قرار دهد.

## ۲. مواد و روش‌ها

### بحث روند انجام تحلیل استاتیکی خطی

ابتدا با استفاده از آیین نامه‌ی زلزله ۲۸۰۰ ویرایش چهارم، ضریب زلزله C و ضریب K را از روابط زیر تعیین می‌گردد.

$$C = \frac{ABI}{R_u} \quad (23)$$

$$T = 0.08 H^{0.75} \quad (24)$$

$$0.5 \leq T \leq 2.5K = 0.5T + 0.75 \quad (25)$$

C ضریب زلزله، A نسبت شتاب مبنای طرح، B ضریب بازتاب ساختمان، I ضریب اهمیت ساختمان، R ضریب رفتار ساختمان، T زمان تناوب ساختمان، H ارتفاع ساختمان از تراز پایه با توجه به اینکه نسبت شتاب مبنای طرح به شتاب ثقل در مناطق مختلف کشور، بر اساس میزان خطر لرزه خیزی آنها متفاوت است شتاب مبنای طرح (A) را از جدول (۱)، ۳۵٪ در نظر گرفته شده است.

جدول (۱) نسبت شتاب مبنای طرح

| منطقه | توصیف                      | نسبت شتاب مبنای طرح |
|-------|----------------------------|---------------------|
| ۱     | پهنگ با خطر نسبی خیلی زیاد | ۰/۳۵                |
| ۲     | پهنگ با خطر نسبی زیاد      | ۰/۳۰                |
| ۳     | پهنگ با خطر نسبی متوسط     | ۰/۲۵                |
| ۴     | پهنگ با خطر نسبی کم        | ۰/۲۰                |

ضریب بازتاب ساختمان (B) بیانگر نحوه پاسخ ساختمان به حرکت زمین با توجه به نوع آن است. این ضریب از رابطه (۲۶) تعیین می‌شود.

$$B = B_1 \times N \quad (26)$$

در این رابطه  $B_1$  ضریب شکل طیف که از رابطه (۲۷) بدست آورده می‌شود، و  $N$  ضریب اصلاح طیف است که از رابطه (۲۸) برای پهنگ‌های با خطر نسبی زیاد و خیلی زیاد بدست می‌آید.

$$\begin{cases} B_1 = S_0 + (S - S_0 + 1) \left( \frac{T}{T_0} \right) & 0 < T < T_0 \\ B_1 = S + 1 & T_0 < T < T_s \\ B_1 = (S + 1) \left( \frac{T_s}{T} \right) & T > T_s \end{cases} \quad (27)$$

$$\begin{cases} N = 1 & T < T_s \\ N = \frac{0.7}{4-T_s} (T - T_s) + 1 & T_s < T < 4 \\ N = 1.7 & T > 4 \end{cases} \quad (28)$$

$$III \text{ نوع خاک} \quad \begin{cases} T_0 = 0.15 \\ T_s = 0.7 \\ S = 1.75 \\ S_0 = 1.1 \end{cases} \quad (29)$$

ضریب اهمیت ساختمان (I) با توجه به اینکه سازه‌ها مسکونی می‌باشد یک در نظر گرفته شده است و ضریب رفتار ساختمان (R) که در بر گیرندهٔ خصوصیاتی مانند شکل پذیری، نامعینی و اضافه مقاومت موجود در سازه است. جدول (۲) پارامترهای مربوط به ضریب زلزله نشان داده شده است.

جدول (۲) پارامترهای مربوط به ضریب زلزله

| طبقات | A    | B     | I | R | T      | C      |
|-------|------|-------|---|---|--------|--------|
| ۴     | ۰,۳۵ | ۲,۷۵  | ۱ | ۵ | ۰,۶۴۵  | ۰,۱۳۷۵ |
| ۸     | ۰,۳۵ | ۱,۹۲۵ | ۱ | ۵ | ۱,۰۸۴۳ | ۰,۰۹۶  |
| ۱۲    | ۰,۳۵ | ۱,۵۲۴ | ۱ | ۵ | ۱,۴۶۹۶ | ۰,۰۷۶  |

#### کنترل دریفت سازه:

با استفاده از روابط موجود در آیین نامه ۲۸۰۰ زلزله دریفت سازه‌های ۵ و ۱۵ طبقه با فرمول‌های زیر را کنترل شده‌اند:

$$\Delta_m = C_d \cdot \Delta_{eu} \quad (30)$$

$$\Delta_a = 0.025h \quad (31)$$

$$\Delta_a = 0.020h \quad (32)$$

در اینجا  $\Delta_m$  تغییر مکان جانبی نسبی طبقات،  $C_d$  ضریب بزرگنمایی و  $h$  ارتفاع طبقات است. بنابراین دریفت مجاز برای سازه‌ها به صورت زیر می‌شود:

$$\text{Drift}_{\text{allowable}} = \frac{0.025}{C_d} \quad (33)$$

$$\text{Drift}_{\text{allowable}} = \frac{0.020}{C_d} \quad (34)$$

مقادیر دریفت برای سازه‌های مورد بررسی محاسبه شده که به عنوان مثال برای سازه ۸ طبقه در جدول (۳) نشان داده شده است.

جدول (۳) مقادیر دریفت برای سازه ۸ طبقه

| ارتفاع | جایه جایی | دربافت مرکز جرم | نسبت دربافت مرکز جرم | حداکثر مقدار مجاز | کنترل |
|--------|-----------|-----------------|----------------------|-------------------|-------|
| ۳۰۰    | ۵,۰۶۳۴    | ۰,۵۹۳۳          | ۰,۰۰۱۹۷۷۶۶۷          | ۰,۰۰۵             | TRUE  |
| ۳۰۰    | ۴,۴۷۰۱    | ۰,۶۸۰۳          | ۰,۰۰۲۲۶۷۶۶۷          | ۰,۰۰۵             | TRUE  |
| ۳۰۰    | ۳,۷۸۹۸    | ۰,۷۴۳۴          | ۰,۰۰۲۴۷۸             | ۰,۰۰۵             | TRUE  |
| ۳۰۰    | ۳,۰۴۶۴    | ۰,۷۶۲۸          | ۰,۰۰۲۵۴۲۶۶۷          | ۰,۰۰۵             | TRUE  |
| ۳۰۰    | ۲,۲۸۳۶    | ۰,۶۹۶۹          | ۰,۰۰۲۳۲۳             | ۰,۰۰۵             | TRUE  |
| ۳۰۰    | ۱,۵۸۶۷    | ۰,۶۵۹۹          | ۰,۰۰۲۱۹۹۶۶۷          | ۰,۰۰۵             | TRUE  |
| ۳۰۰    | ۰,۹۲۶۸    | ۰,۵۸۶۲          | ۰,۰۰۱۹۵۴             | ۰,۰۰۵             | TRUE  |
| ۳۰۰    | ۰,۳۴۰۶    | ۰,۳۴۰۶          | ۰,۰۰۱۱۳۵۳۳           | ۰,۰۰۵             | TRUE  |

### تحلیل استاتیکی غیرخطی پوش آور

در این بخش ابتدا به نتایج تحلیل مدل‌های مورد بررسی تحقیق پرداخته شده است و در انتهای فصل به نتیجه گیری و مقایسه نتایج تحلیل استاتیکی غیرخطی (پوش آور) بر تخریب پیشرونده در حالت‌های با و بدون در نظر گرفتن اندرکنش خاک و سازه انجام گردیده است.

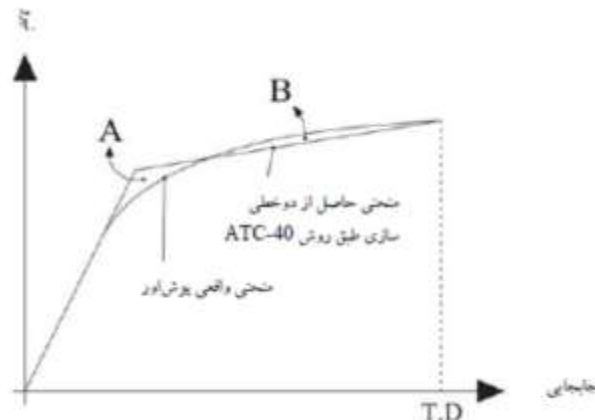
### نحوه دو خطی کردن نمودار پوش آور:

برای بدست آوردن زمان تناوب اصلی مؤثر  $T_e$  با استی منحنی پوش آور به صورت دو خطی مدل سازی گردد. طبق ضوابط موجود در ATC-۴۰ (ATC-۱۹۹۶) این منحنی دوخطی با استی طوری رسم گردد که سطح زیر منحنی واقعی پوش آور و منحنی دوخطی آن باهم برابر باشند و همچنین مختصات نقطه تقاطع خط مماس رسم شده در ناحیه الاستیک با شیب اولیه سختی الاستیک مؤثر  $k$  و منحنی پوش آور، بر روی محور مختصات عمودی (نیرو) برابر مقدار  $1/6$  نیروی برشی تسلیم مورد نظر باشد.

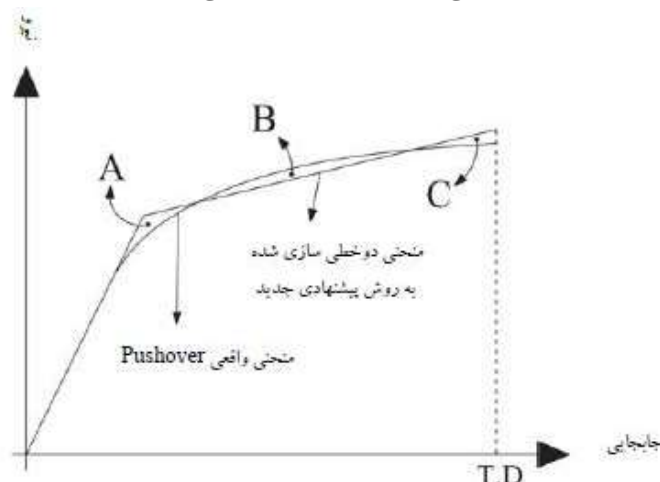
برای بدست آوردن مدل دوخطی منحنی طبق روش مذکور، در ناحیه الاستیک منحنی موجود، خطی مماس با مقدار شیب اولیه منحنی به عنوان سختی الاستیک مؤثر سازه رسم می‌گردد. برای مشخص نمودن جابجایی تسلیم و شیب سختی تسلیم<sup>۸</sup> برای مقدار معلوم جابجایی هدف با استی خط دوم طوری ترسیم گردد که مساحت نواحی A و B در نمودار شکل (۴) برابر

<sup>۸</sup>Yield Stiffness Slope

گردند. جابجایی هدف<sup>۹</sup> با استفاده از روابط موجود در ATC-۴۰، ۱۹۹۶ (ATC-۴۰، ۱۹۹۶) محاسبه می‌گردد. در شکل (۵)، روش دو خطی سازی منحنی پوش آور بر اساس روش پیشنهادی ATC-۴۰، ۱۹۹۶ (ATC-۴۰، ۱۹۹۶) نشان داده شده است.



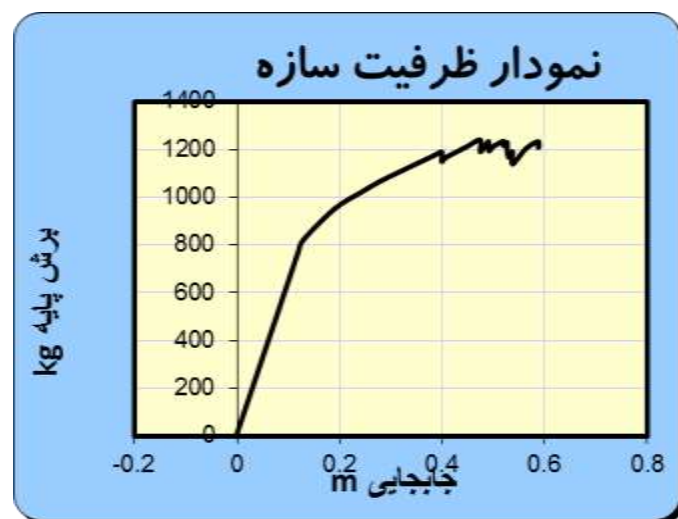
شکل (۳) منحنی‌های پوش آور و دو خطی آن طبق ATC-۴۰



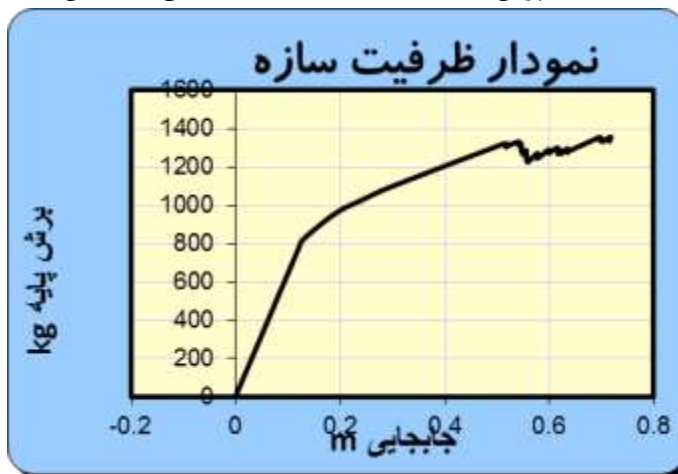
شکل (۵) روش پیشنهاد شده برای ایده‌آل سازی دو خطی منحنی پوش آور

طبق نمودار (۵) در روش پیشنهادی جدید، شیب اولیه منحنی به عنوان سختی الاستیک مؤثر سازه و خط مماس طبق روش موجود در ATC-۴۰، ۱۹۹۶ (ATC-۴۰، ۱۹۹۶) رسم می‌گردد، ولی شیب خط سختی تسلیم با رعایت دو شرط مشخص می‌گردد. یک مساحت ناحیه B برابر مجموع مساحت دو ناحیه A و C گردد. دو مجموع مساحت سه ناحیه A، B و C به کمترین مقدار بین مقادیر مناسب برای شیب‌های تسلیم گوناگون منجر شود. از وضعیت هندسه منحنی‌ها، می‌توان اثبات نمود که با تغییر خط سختی تسلیم به طور عمودی، بدون هیچ گونه تغییر در شیب آن، فقط یک موقعیت وجود دارد که در آن شرط  $A+C=B$  برقرار می‌گردد. بعد از برقراری این شرط، تا زمانی که مجموع مساحت سه ناحیه به حداقل مقدار آن برسد، این روند برای شیب‌های گوناگون تکرار خواهد شد و شیبی که کمترین مجموع را تولید نماید، شیب مطلوب خط تسلیم در منحنی دوخطی خواهد بود.

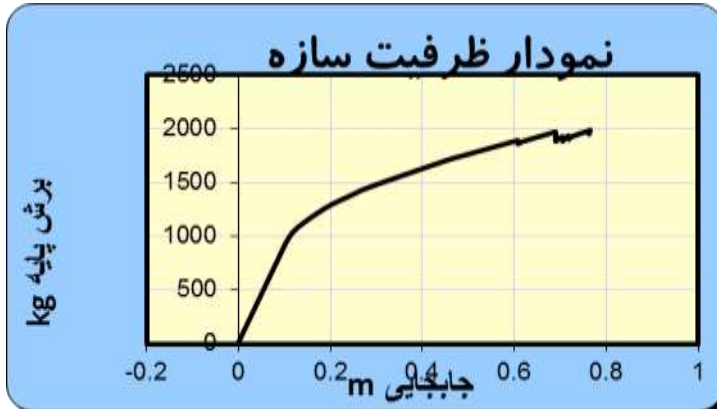
<sup>۹</sup>Single Degree Of Freedom



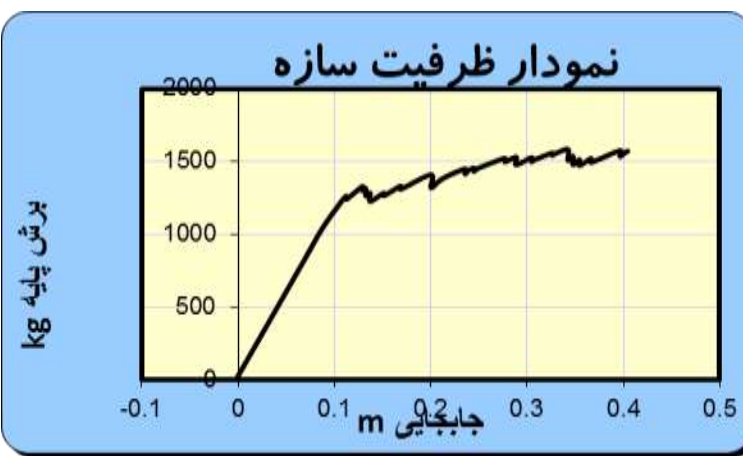
شکل (۶) پوش آور ۴ طبقه با صلبیت کف و بدون اندرکنش



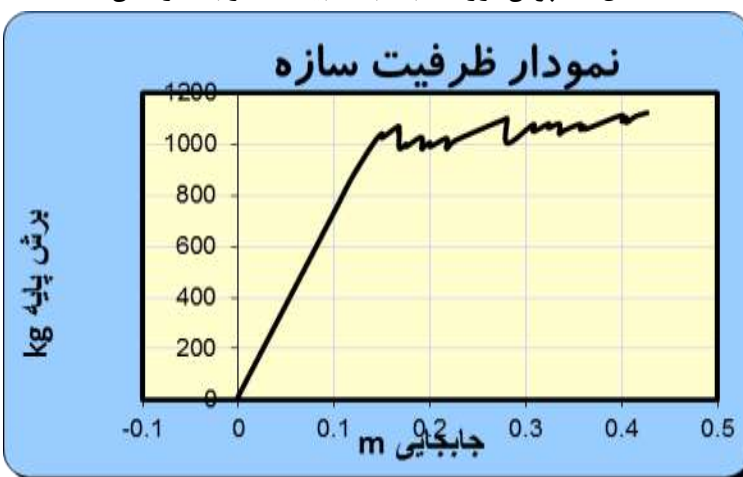
شکل (۷) پوش آور ۴ طبقه با صلبیت کف و با اندرکنش



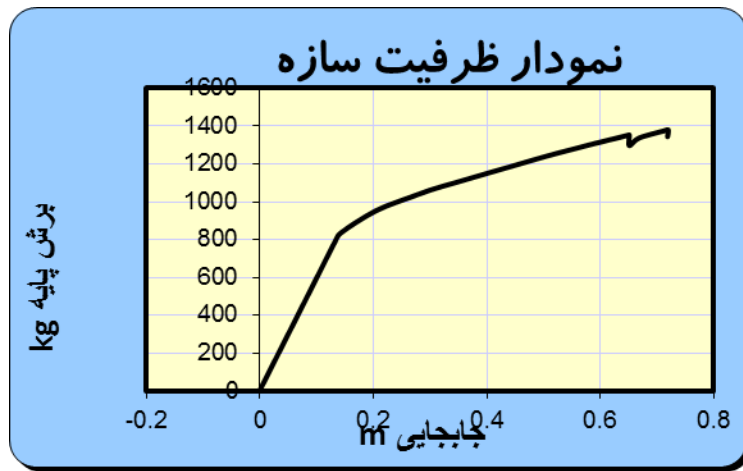
شکل (۸) پوش آور ۸ طبقه با صلبیت کف و بدون اندرکنش



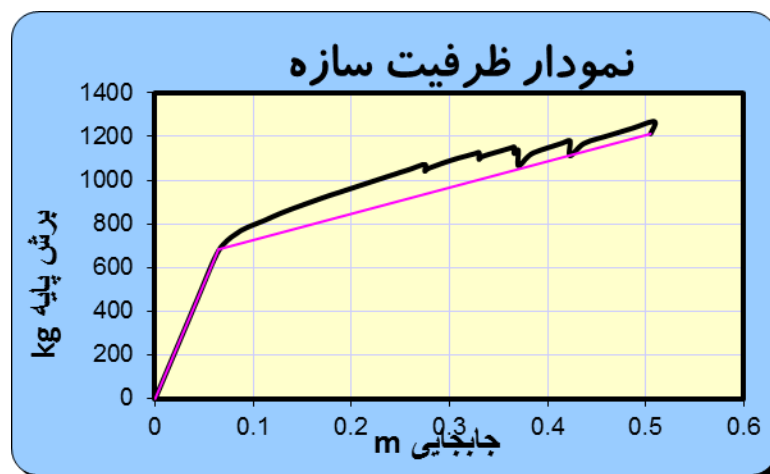
شکل (۹) پوش آور ۸ طبقه با صلبیت کف و با اندرکنش



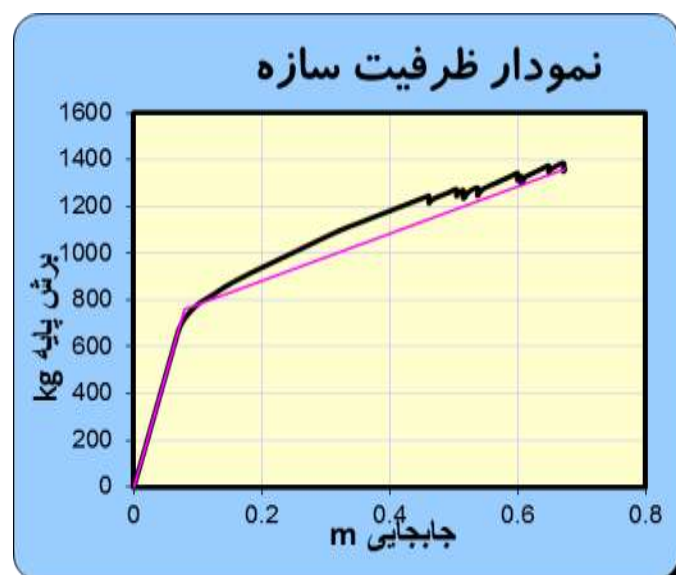
شکل (۱۰) پوش آور ۱۲ طبقه با صلبیت کف و بدون اندرکنش



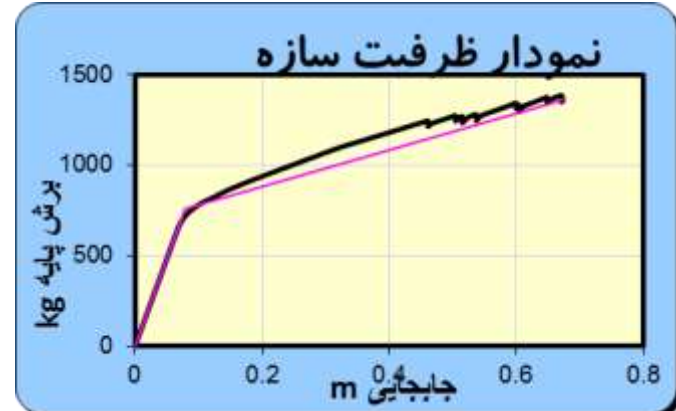
شکل (۱۱) پوش آور ۱۲ طبقه با صلبیت کف و با اندرکنش



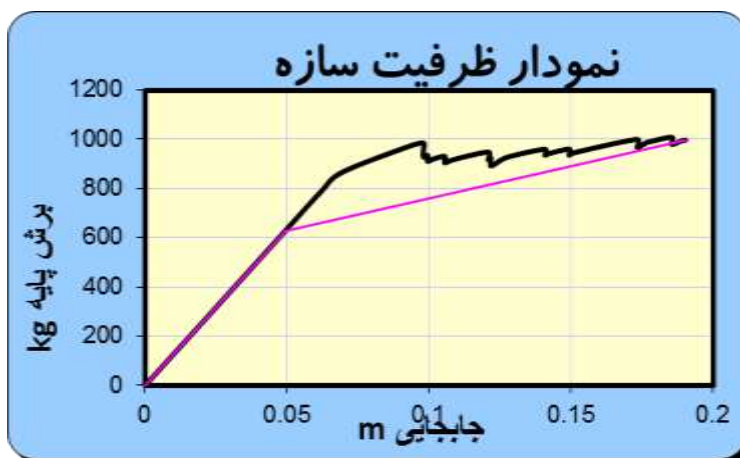
شکل (۱۲) پوش آور دو خطی ۴ طبقه با صلبیت کف و بدون اندرکنش



شکل (۱۳) پوش آور دو خطی ۴ طبقه با صلبیت کف و با اندرکنش



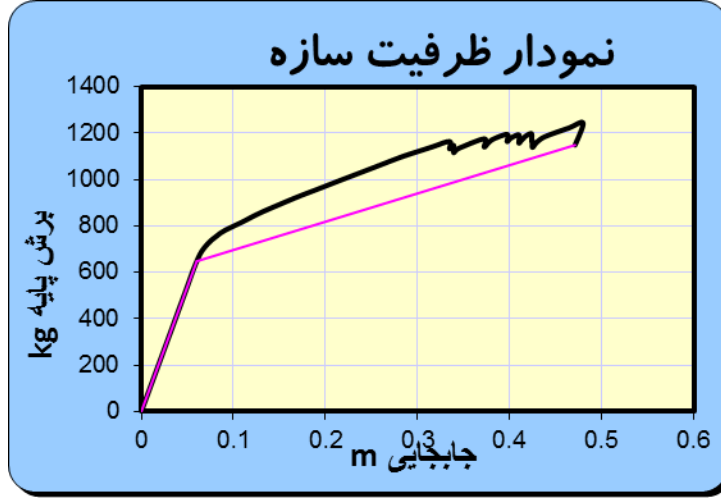
شکل (۱۴) پوش آور دو خطی ۸ طبقه با صلبیت کف و بدون اندرکنش



شکل (۱۵) پوش آور دو خطی ۸ طبقه با صلبیت کف و با اندرکنش



شکل (۱۶) پوش آور دو خطی ۱۲ طبقه با صلبیت کف و بدون اندرکنش



شکل (۱۷) پوش آور دو خطی ۱۲ طبقه با صلبیت کف و با اندرکنش

شایان ذکر است محاسبات منحنی پوش آور و دوخطی کردن آن برای تمامی مدلها انجام شده که به علت حجم بالای نمودارهای فقط به ارایه تعدادی از آنها به عنوان نمونه بسنده شده است. تعداد مدل‌های مدلسازی شده شامل ۴ نوع با تعداد

طبقات ۱، ۸ و ۱۲ و ۳ متغیر صلبیت کف طبقات و برای دو نوع تکیه گاه صلب و انعطاف پذیر انجام شده است که در مجموع برابر ۲۴ مدلسازی صوت گرفته است.

### بدست آوردن ضریب رفتار

ضریب رفتار از رابطه  $R=Y\cdot R\mu \cdot \Omega$  بدست می‌آید، همانطور که مشخص است، برای محاسبه ضریب رفتار ابتدا می‌بایست از روی منحنی دوخطی پوش آور پارامترهای مورد نیاز را استخراج کرد و سپس از آنها برای تعیین ضریب رفتار استفاده کرد. نمونه‌ای از جداول محاسبه ضریب رفتار در ادامه ارایه شده است. شایان ذکر است محاسبات ضریب رفتار از روی منحنی دوخطی برای تمامی مدل‌های Etabs انجام شده که به علت حجم بالای نمودارهای فقط به ارایه تعدادی از آنها به عنوان نمونه بسنده شده است. که هر کدام از پارامترهای رابطه عبارتند از:

جدول (۴) پارامترهای بدست آمده از منحنی دوخطی برای سازه ۱۲ طبقه با صلبیت کف و بدون اندرکنش خاک و سازه

| تحلیل خطی |            | اولین مفصل پلاستیک |            | تسليیم سازه |            | شکست سازه |            |
|-----------|------------|--------------------|------------|-------------|------------|-----------|------------|
| Vd        | $\Delta d$ | Vs                 | $\Delta s$ | Vy          | $\Delta y$ | Vu        | $\Delta u$ |
| ۲۸۰۰      | ۰,۱۰۰۰۰    | ۷۷۰,۴۰۰۵           | ۰,۱۱۹۵     | ۷۱۸,۸۸۸۵۹   | ۰,۱۰۷۹۹    | ۱۲۱۵,۱۳۰۴ | ۰,۵۸۹۴۰    |

جدول (۵) محاسبه ضریب رفتار پوش آور سازه ۱۲ طبقه با صلبیت کف و بدون اندرکنش خاک و سازه

|                       |                                 |         |
|-----------------------|---------------------------------|---------|
| سختی سازه             | K                               | ۶۶۵۶,۸۴ |
| اضافه مقاومت          | $\Omega = \Delta y / \Delta s$  | ۰,۹۰    |
| تغییر شکل پلاستیک     | $\Delta u - \Delta y =$         | ۰,۴۸    |
| ضریب شکل پذیری        | $\mu = \Delta u / \Delta y$     | ۵,۴۶    |
| ضریب تنفس مجاز        | $Y = \Delta s / \Delta d$       | ۱,۲۰    |
| ضریب کاهش             | $R\mu =$                        | ۶,۳۳    |
| سختی اولیه            | $k_1 =$                         | ۶۶۵۶,۸۴ |
| سختی نهایی            | $k_2 =$                         | ۱۰۳۰,۸۲ |
| ضریب تشدید تغییر مکان | $C_d =$                         | ۵,۸۹    |
| ضریب رفتار            | $R = \Omega \cdot Y \cdot R\mu$ | ۶,۸۴    |

جدول (۶) پارامترهای بدست آمده از منحنی دوخطی برای سازه ۱۲ طبقه با صلبیت کف و با اندرکنش خاک و سازه

| تحلیل خطی |            | اولین مفصل پلاستیک |            | تسليیم سازه |            | شکست سازه |            |
|-----------|------------|--------------------|------------|-------------|------------|-----------|------------|
| Vd        | $\Delta d$ | Vs                 | $\Delta s$ | Vy          | $\Delta y$ | Vu        | $\Delta u$ |
| ۳۶۰۰      | ۰,۱۱۳۲۵    | ۹۲۵,۳۱             | ۰,۱۲۰۳     | ۷۳۵,۰۲۶۳    | ۰,۰۹۴۱۳    | ۱۳۶۰,۲۳   | ۰,۶۷۱۳     |

جدول (۷) محاسبه ضریب رفتار پوش آور سازه ۱۲ طبقه با صلبیت کف و با اندرکنش خاک و سازه

|                       |                                 |         |
|-----------------------|---------------------------------|---------|
| سختی سازه             | K                               | ۶۵۱۲,۱۳ |
| اضافه مقاومت          | $\Omega = \Delta y / \Delta s$  | ۰,۷۸    |
| تغییر شکل پلاستیک     | $\Delta u - \Delta y =$         | ۰,۵۲    |
| ضریب شکل پذیری        | $\mu = \Delta u / \Delta y$     | ۵,۶۳    |
| ضریب تنفس مجاز        | $Y = \Delta s / \Delta d$       | ۱,۱۲    |
| ضریب کاهش             | $R\mu =$                        | ۶,۷۶    |
| سختی اولیه            | $k_1 =$                         | ۶۵۱۲,۱۳ |
| سختی نهایی            | $k_2 =$                         | ۱۰۰۹,۶  |
| ضریب تشدید تغییر مکان | $C_d =$                         | ۵,۱۳    |
| ضریب رفتار            | $R = \Omega \cdot Y \cdot R\mu$ | ۷,۸۴    |

#### ۴. نتایج

نتایج بررسی‌ها نشان دادند که در قاب‌های کوتاه‌تر تحلیل استاتیکی غیرخطی (پوش آور) ظرفیت سازه را بیشتر از نتایج IDA تخمین می‌زند و با بلند شدن ارتفاع سازه نتایج روشن استاتیکی غیرخطی به روشن IDA نزدیک‌تر می‌شود. در سالهای اخیر روش تحلیل استاتیکی غیرخطی با در نظر گرفتن اثر مودهای بالاتر ارائه شده است که خود شامل روش پوش آور به هنگام شونده براساس نیرو (FAP) و جایی (DAP) می‌باشد. در این روش‌ها الگوی بار ثابت نبوده و براساس شکل مودی و میزان ضریب مشارکت مodal، بهنگام می‌شود.

#### ۵. منابع

- مبحث دهم مقررات ملی ساختمان، طرح و اجرای ساختمان‌های فولادی، ویرایش چهارم، تهران، انتشارات توسعه ایران، ۱۳۹۲.
- شبیانی، عماد، "۱۳۹۵، مطالعه بر روی ضریب رفتار سیستم مهاربندی واگرای ویژه‌ی قطری و مقاوم در برابر کمانش با استفاده از تحلیل استاتیکی غیر خطی بار افزون و تحلیل غیر خطی دینامیکی افزایشی"، کارشناسی ارشد، دانشکده عمران، مؤسسه آموزش عالی غیاث الدین جمشید کاشانی.
- Chao, S.H. and Goel, S.C., ۲۰۰۵. Performance-based criteria desing of EBF using target drift and yield mechanism as performance ceiteria . Ann Arbor, ۱۰۰, pp. ۴۸۱۰۹-۲۱۲۵.

- ۴- Richards,P.W.,and Uang,C.M.,(۲۰۰۵) ."Development of testing protocol for short links in eccentrically braced frames."
- ۵- Chao,S.,Khandelwal,K.and El-Tawil,S., (۲۰۰۶). "Ductile web fracture initiation in steel shear links."
- ۶- Mofid, M.and Lotfollahi. M . , ۲۰۰۶ . On the characteristics of new ductile knee bracing systems. Journal of Constructional Steel Research ۷۲(۳), pp.۲۷۱-۲۸۱
- ۷- Berman,J.W.,Bruneau,M., (۲۰۰۷) "Experimental and analytical investigation of tubular links for eccentrically braced frames."
- ۸- Okazaki,T.,Engelhardt,M.D.,(۲۰۰۷)."Cyclic loading behavior of EBF links constructed of ASTM A۹۹۲ Steel."
- ۹- Maalek,Sharokh., Adibrad.,Moslehi.,(۲۰۰۸) "An experimental investigation of the behaviour of EBFs."
- ۱۰- Bosco,M.,Rossi,PR.,(۲۰۰۸)" Seismic Behavior of High Strength Steel Composite K-Type Ec
- ۱۱- Khandelwal, K., El-Tawil, S., 'Pushdown Resistance as a Measure of Robustness in Progressive Collapse Analysis", Journal of Engineering Structures, ۲۰۱۱, ۳۳, ۲۶۵۳-۲۶۶۱.
- ۱۲- Liu, M., "A New Dynamic Increase Factor for Nonlinear Static Alternate Path Analysis of Building Frames Against Progressive Collapse", Engineering Structures, ۲۰۱۳, ۴۸, ۶۶۶- ۶۷۳.
- ۱۳- Tavakoli, H. R., Rashidi A., "Evaluation of Progressive Collapse Potential of Multi-Story Moment Resisting Steel Frame Buildings Under Lateral Loading", Scientia Iranica, ۲۰۱۳, ۲۰ (۱), ۷۷-۸۶.
- ۱۴- Zahrai, S. M., Ezoddin, A. R., "Numerical Study of Progressive Collapse in Intermediate Moment Resisting Reinforced Concrete Frame Due to Column Removal", Civil Engineering Infrastructures Journal, ۲۰۱۴, ۴۷ (۱),
- ۱۵- Osama A. M., "Calculation of Load Increase Factors for Assessment of Progressive Collapse Potential in Framed Steel Structures", Case Studies in Structural Engineering, ۲۰۱۵, ۳, ۱۱-۱۸.